



第二届“粤港澳”核物理论坛

中子星与夸克素物质

曹高清

中山大学物理与天文学院

GC, Phys. Rev. D 105, 114020 (2022).

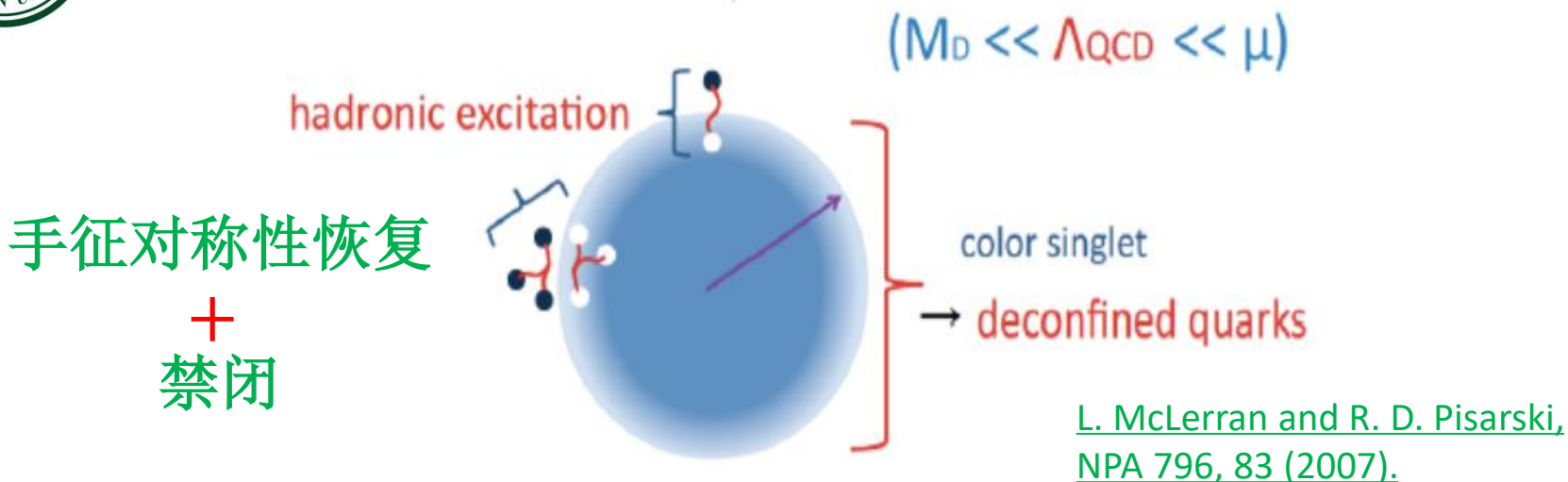


内容提要

- ◆ 什么是夸克素物质？
- ◆ 作为夸克素物质的中子星
- ◆ 手征有效场论模型
- ◆ 结果与讨论
- ◆ 总结



什么是夸克素 (quarkyonic) 物质?

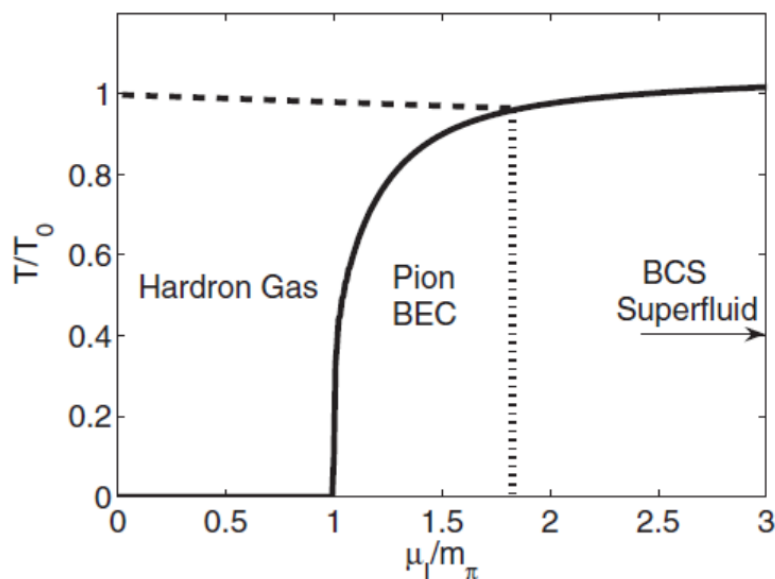


1. 费米海: 近自由的夸克;
2. 费米面: 禁闭的强子, 主要是重子;
3. 在大 N_c 极限下得到证明;
4. 在 $N_c = 2$ 时得到格点QCD验证。 [V. V. Braguta et. al., PRD.94.114510 \(2016\)](#)

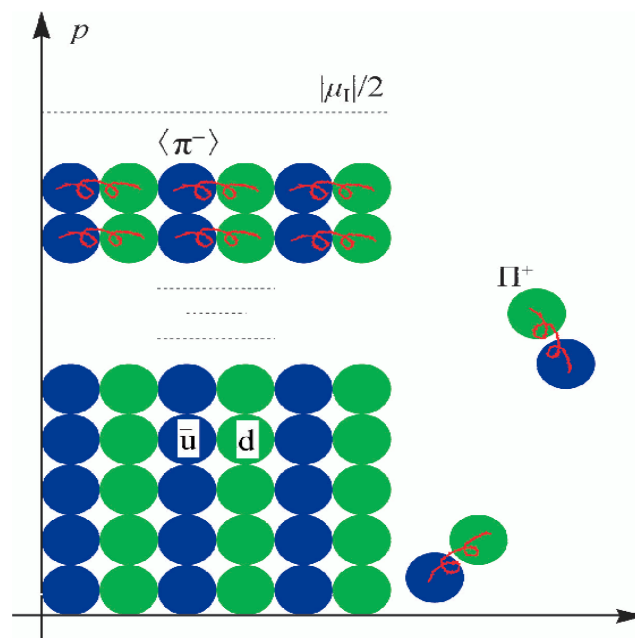


推广——Quarksonic 物质

BEC-BCS crossover



[G. Sun, L. He and P. Zhuang, PRD 75, 096004 \(2007\).](#)



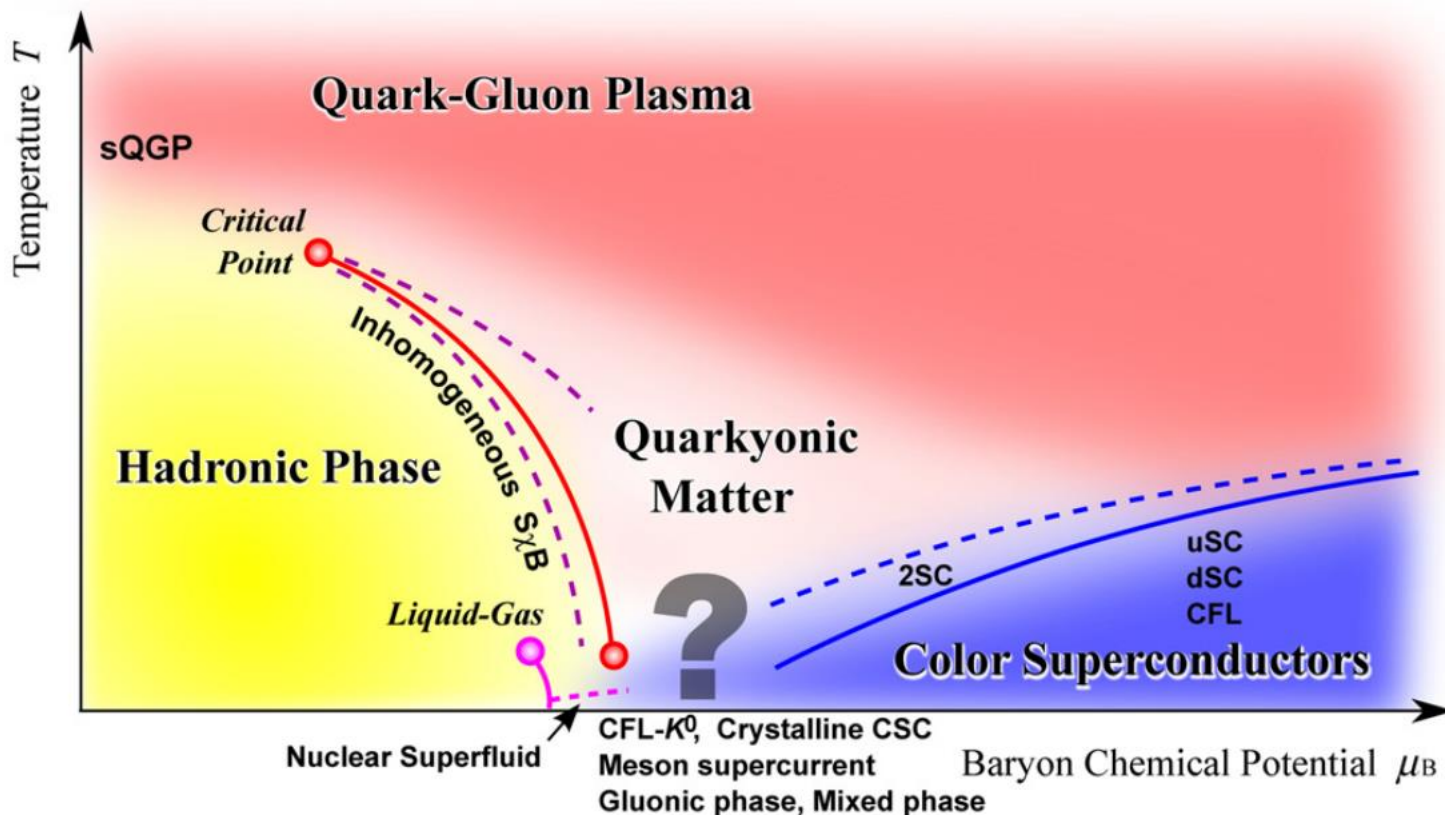
[GC, L. He and X.G. Huang, CPC 41, 051001 \(2017\).](#)

- 1. 费米海：近自由的夸克与反夸克；
- 2. 费米面：禁闭的强子，主要是介子；



皆大欢喜的相图

[K. Fukushima and T. Hatsuda, Rep. Prog. Phys. 74 \(2011\) 014001](#)

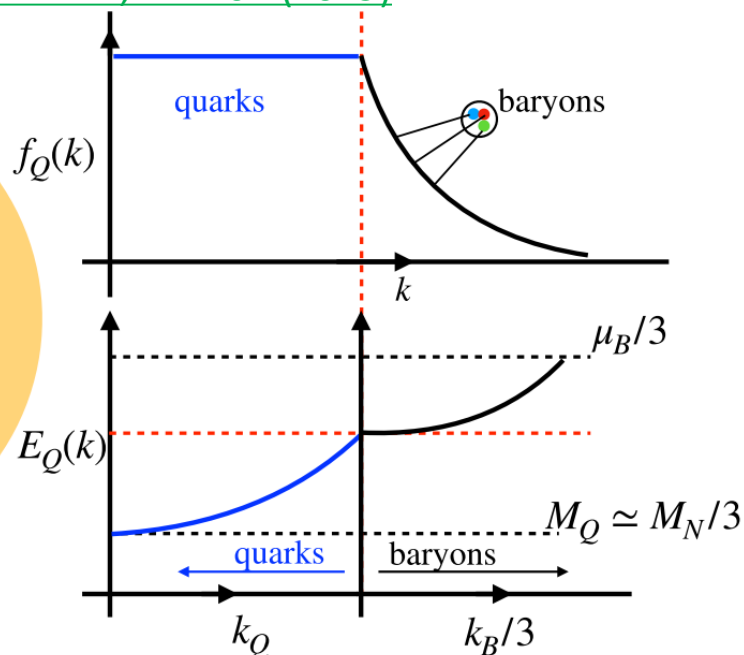
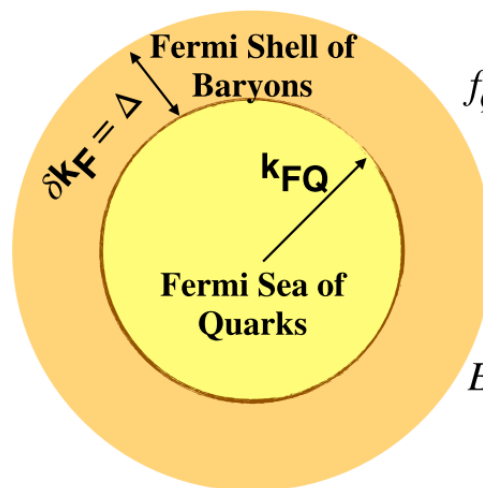
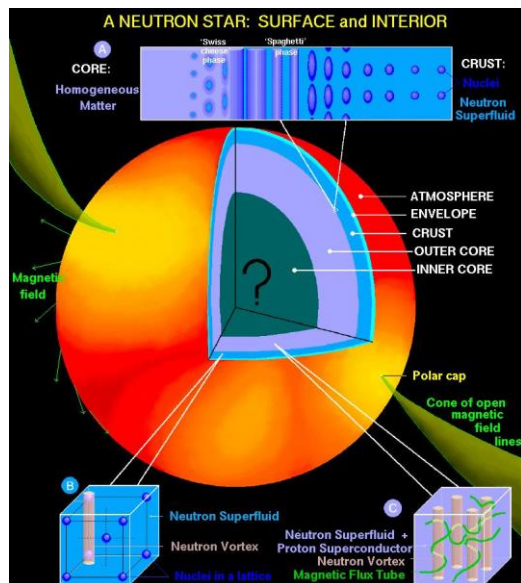


机遇：未来的低能EIC与EICC可能产生夸克素物质



作为夸克素物质的中子星

L. McLerran and S. Reddy, PRL 122, 122701 (2019)



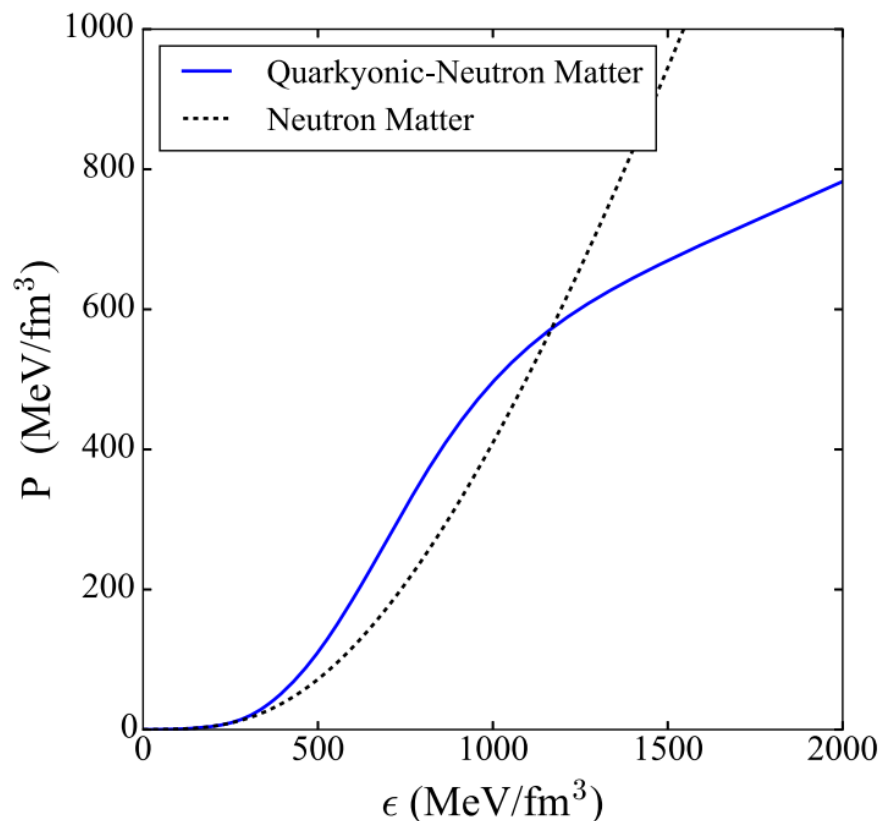
位置空间 + 动量空间

$$\left\{ \begin{array}{l} n_B = \frac{2}{3\pi^2} [k_{FB}^3 - (k_{FB} - \Delta)^3 + k_{FQ}^3] \\ \epsilon(n_B) = 4 \int_{N_c k_{FQ}}^{k_{FB}} \frac{d^3 k}{(2\pi)^3} \sqrt{k^2 + M_N^2} + 4N_c \int_0^{k_{FQ}} \frac{d^3 k}{(2\pi)^3} \sqrt{k^2 + M_Q^2} \end{array} \right. \quad k_{FQ} = \frac{(k_{FB} - \Delta)}{N_c} \Theta(k_{FB} - \Delta)$$

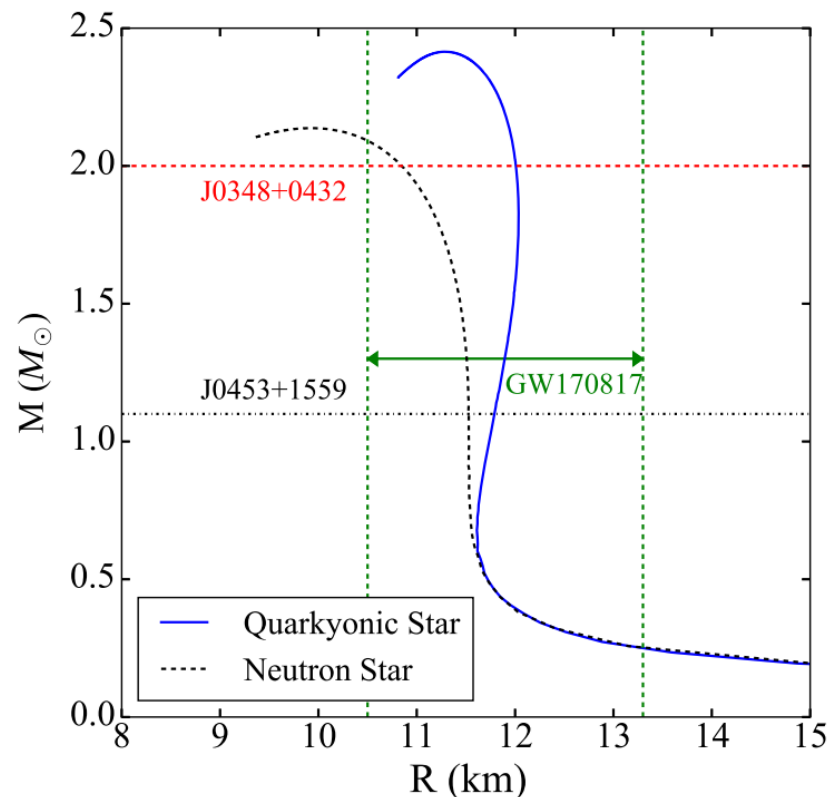


中子相互作用势能

$$V_n(n_n) = \tilde{a}n_n\left(\frac{n_n}{n_0}\right) + \tilde{b}n_n\left(\frac{n_n}{n_0}\right)^2$$



状态方程



质量-半径关系



手征有效场论模型

夸克介子模型 + Walecka模型

$$\mathcal{L}_q = \bar{q} \left[i \not{\partial} + \left(\frac{\mu_B}{N_c} + \frac{\mu_I}{2} \tau_3 \right) \gamma^0 - g_q (\sigma + i \gamma^5 \boldsymbol{\tau} \cdot \boldsymbol{\pi}) \right] q,$$

夸克

$$\mathcal{L}_n = \bar{n} \left[i \not{\partial} - \mu_n \gamma^0 - g_{Ns} (\sigma - i \gamma^5 \pi^0) - g_{N\omega} \not{\omega} + g_{N\rho} (\not{\rho}^3 - \gamma^5 \not{A}^3) \right] n,$$

中子

$$\begin{aligned} \mathcal{L}_M = & \frac{1}{2} (\partial_\mu \sigma \partial^\mu \sigma + D_\mu \boldsymbol{\pi} \cdot D^\mu \boldsymbol{\pi}) - \frac{\lambda}{4} (\sigma^2 + \boldsymbol{\pi} \cdot \boldsymbol{\pi} - v^2)^2 + c \sigma \\ & - \frac{1}{4} (\omega_{\mu\nu} \omega^{\mu\nu} + \boldsymbol{\rho}_{\mu\nu} \cdot \boldsymbol{\rho}^{\mu\nu} + \mathbf{A}_{\mu\nu} \cdot \mathbf{A}^{\mu\nu}) + \frac{1}{2} g_{s\omega} (\sigma^2 + \boldsymbol{\pi} \cdot \boldsymbol{\pi} - h_\omega^2) \omega_\mu \omega^\mu \\ & + \frac{1}{2} g_{s\rho} (\sigma^2 + \boldsymbol{\pi} \cdot \boldsymbol{\pi} - h_\rho^2) (\boldsymbol{\rho}_\mu \cdot \boldsymbol{\rho}^\mu + \mathbf{A}_\mu \cdot \mathbf{A}^\mu), \end{aligned}$$

介子

1. 当 $c = 0$ ，完全手征对称性 \longrightarrow 夸克、核子质量

2. ω 介子耦合常数由对称核物质饱和性质决定;

[GC and J. Liao, JHEP 10, 168 \(2020\).](#)

3. ρ 介子耦合常数由对称能及其斜率决定

[M. Oertel, et. al., RMP 89, 015007 \(2017\)](#)

$$\begin{cases} E_{\text{sym}}(n_0) = 32 \text{ MeV} \\ L_{\text{sym}}(n_0) = 60 \text{ MeV} \end{cases}$$



热力学势

平均场近似: σ, ω, ρ_0 凝聚

介子

$$\Omega_v = \frac{\lambda}{4} (\langle \sigma \rangle^2 + \langle \pi \rangle \cdot \langle \pi \rangle - v^2)^2 - c \langle \sigma \rangle$$

$$- \frac{g_{s\omega}}{2} (\langle \sigma \rangle^2 - h_\omega^2) \langle \omega_0 \rangle^2 - \frac{g_{s\rho}}{2} (\langle \sigma \rangle^2 - h_\rho^2) \langle \rho_0^3 \rangle^2$$

夸克

$$\Omega_q = -2N_c T \sum_{l,t=\pm} \int \frac{d^3 p}{(2\pi)^3} \ln \left(1 + e^{-[E_q(\mathbf{p}) + l(\frac{\mu_B}{N_c} + t\frac{\mu_I}{2})]/T} \right)$$

$$\Omega_n = -\frac{1}{2} g_{s\omega} (\langle \sigma \rangle^2 - h_\omega^2) \langle \omega_0 \rangle^2 - \frac{1}{2} g_{s\rho} (\langle \sigma \rangle^2 - h_\rho^2) \langle \rho_0^3 \rangle^2$$

中子

$$- 2T \sum_{l=\pm} \int \frac{d^3 p}{(2\pi)^3} \ln \left(1 + e^{-[E_n(\mathbf{p}) + l(\mu_n - (g_{N\omega} \langle \omega_0 \rangle - g_{N\rho} \langle \rho_0^3 \rangle))]/T} \right)$$

$$+ 2T \sum_{l=\pm} \int \frac{d^3 p}{(2\pi)^3} \ln \left(1 + e^{-[E_n(\mathbf{p}) + l(\mu'_n - (g_{N\omega} \langle \omega_0 \rangle - g_{N\rho} \langle \rho_0^3 \rangle))]/T} \right)$$

Blocking effect: $\mu'_n = \mu_n - (N_c m_q - m_n)$



能隙方程、热力学量

有限温、有限密耦合能隙方程

$$\partial\Omega/\partial X = 0 \quad (X = \langle\omega_0\rangle, \langle\rho_0^3\rangle, \langle\sigma\rangle)$$

热力学关系

重子数密度、同位旋密度、熵密度

$$n_B = -\partial\Omega/\partial\mu_B \quad n_I = -\partial\Omega/\partial\mu_I$$

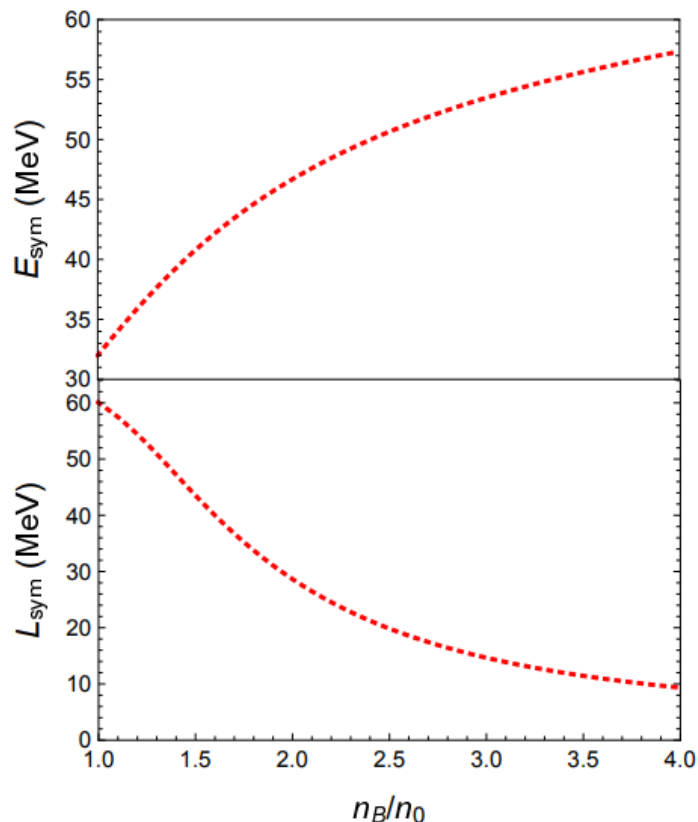
$$s = -\partial\Omega/\partial T$$

能量密度

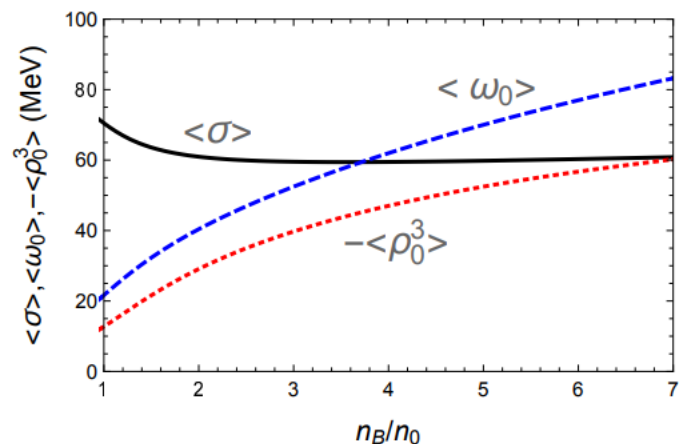
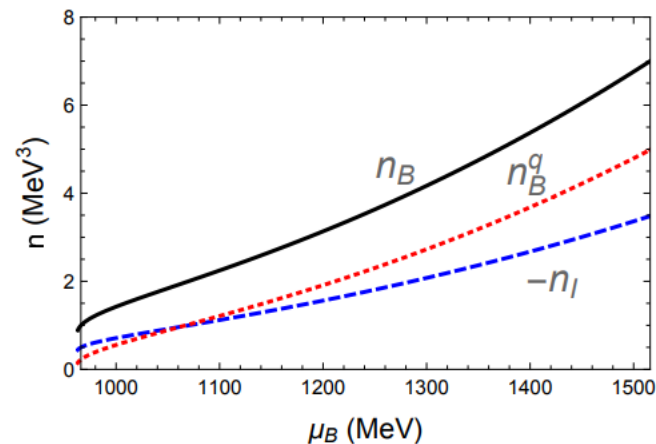
$$\epsilon \equiv \Omega + \mu_B n_B + \mu_I n_I + sT - \epsilon_0$$



物理量的变化



状态方程逐渐软化

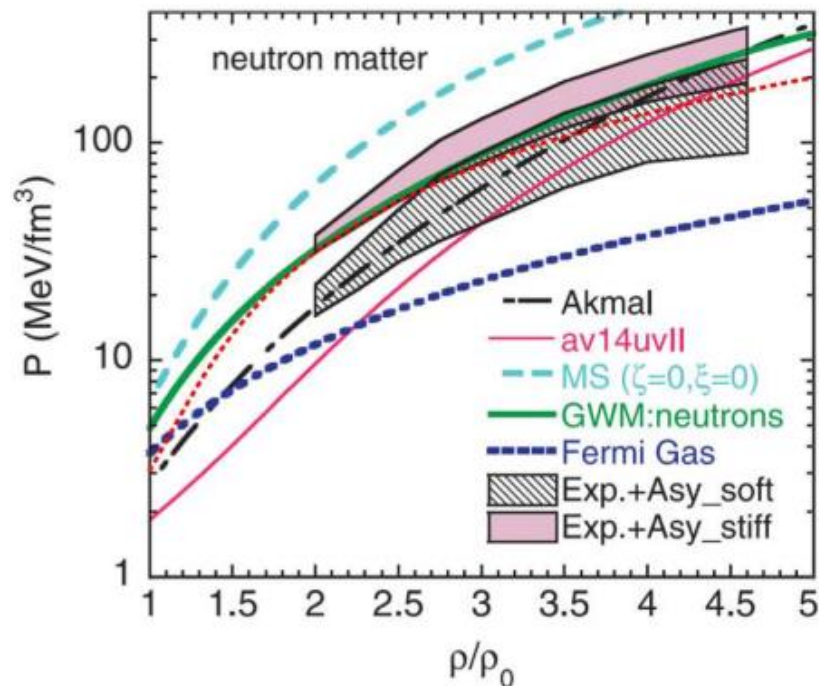


高密区夸克主导，
手征对称性部分恢复

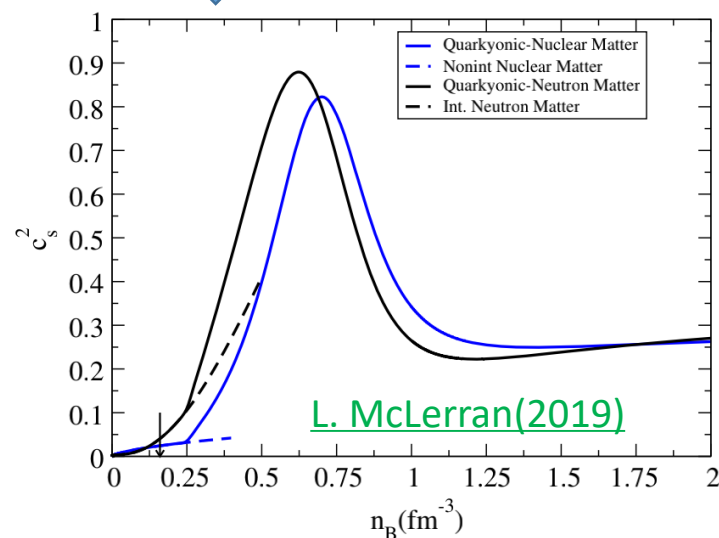
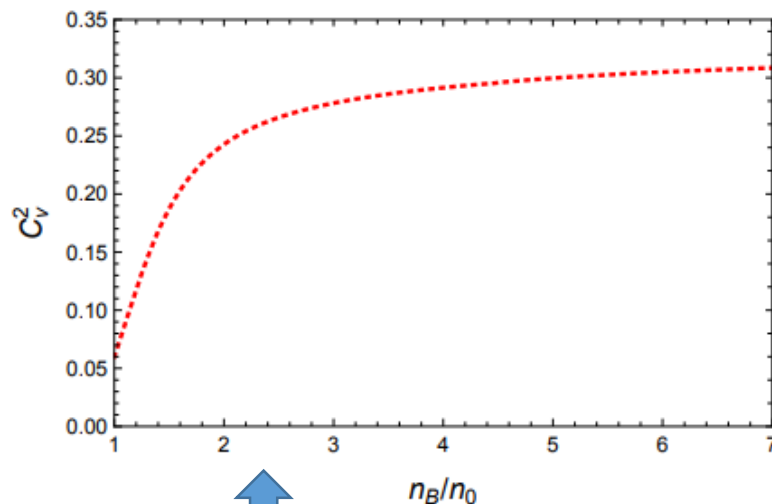


状态方程与声速

[P. Danielewicz, et al.,
Science 298 \(2002\) 1592.](#)



与实验结果较相符
不太软也不太硬



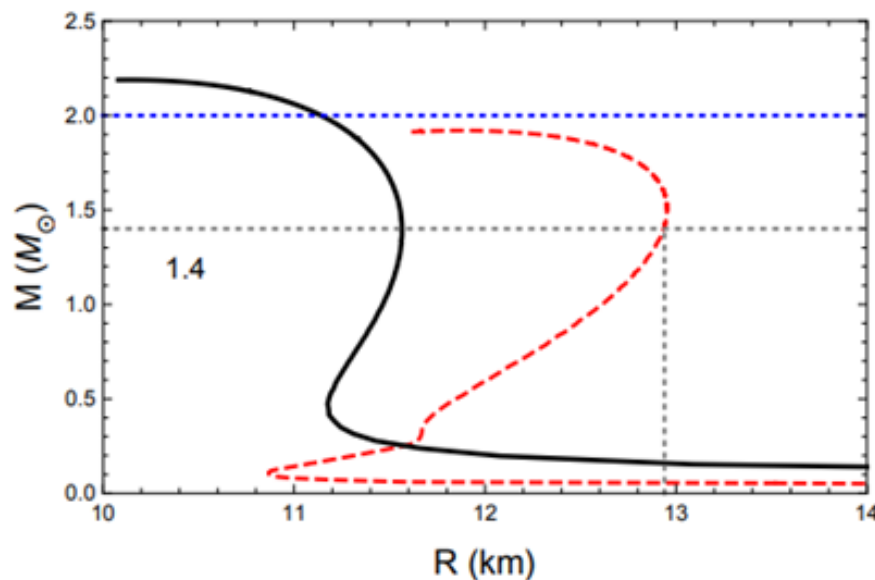


中子星性质

$$\frac{dP(r)}{dr} = -G_N \frac{[P(r) + \epsilon(r)] [M(r) + 4\pi r^3 P(r)]}{r^2 - 2G_N r M(r)}$$

$$\frac{dM(r)}{dr} = 4\pi r^2 \epsilon(r)$$

TOV方程



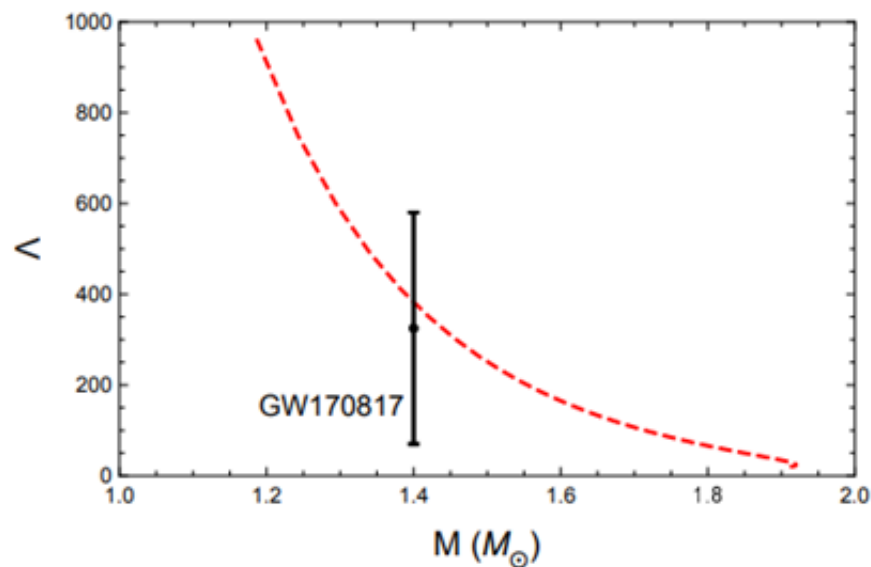
1. **1.4倍**太阳质量的半径与**NICER**结果**一致**

2. **达不到2倍**太阳质量



中子星性质

$$\Lambda = \frac{2}{3}k_2 \left(\frac{R}{G_N M} \right)^5 \rightarrow \text{Love数}$$



3. 潮汐形变与中子星并合结果一致



总结

- 建立关于夸克素物质的场论模型
- 满足饱和性质和对称能的约束
- 较好描述1.4倍太阳质量的半径和潮汐形变
- 声速无峰，无法达到两倍太阳质量，待改进

谢谢！